

## РЕШЕНИЕ ЗАДАЧ КВАНТОВОЙ МЕХАНИКИ С ПОМОЩЬЮ СИСТЕМ КОМПЬЮТЕРНОЙ МАТЕМАТИКИ

Андреев В.В., Максименко Н.В., Дерюжкова О.М.

УО «Гомельский государственный университет имени Франциска Скорины»,  
г. Гомель, Беларусь, [vik.andreev@gsu.by](mailto:vik.andreev@gsu.by), [maksimenko@gsu.by](mailto:maksimenko@gsu.by), [dom@gsu.by](mailto:dom@gsu.by)

Квантовая механика изучает законы микромира, которые невозможно описать и объяснить с помощью классической механики Ньютона. Основные объекты (частицы и волны одновременно) и понятия (наблюдаемая, состояние, вероятность, неопределенность и др.) квантовой механики довольно сложно визуально представить. Но с помощью системы компьютерной алгебры *Wolfram Mathematica* (WM), которая является универсальным аппаратом, как в области аналитического, так и в области численного моделирования, можно успешно решать квантово-механические задачи любой сложности. А применение компьютерной графики обеспечивает достаточную наглядность, позволяющую корректно и всесторонне изучать и анализировать поставленные задачи. Это необходимо и довольно удобно использовать на практических занятиях при решении прикладных задач квантовой механики, что позволяет разнообразить образовательный процесс. В результате повышается познавательный интерес студента к изучаемому явлению, а значит и качество получаемых знаний.

Рассмотрим систему *Wolfram Mathematica* в качестве инструмента для решения задач квантовой механики. Квантовая механика, обладая универсальным математическим аппаратом, составляет теоретическую основу решения многих практически важных задач (нанотехнологии, квантовая электроника и др.). Она имеет многочисленные физические приложения в различных областях физики микромира.

Центральное место в численных расчетах занимает решение стационарного уравнения Шредингера (уравнение движения квантовой частицы):

$$\hat{H}\psi(\mathbf{r}) = E\psi(\mathbf{r}), \quad (1)$$

где оператор Гамильтона с потенциалом взаимодействия  $U(\mathbf{r})$  в системе  $\hbar = c = 1$  имеет вид:

$$\hat{H} = -\frac{1}{2m} \left( \frac{\partial^2}{\partial x^2} + \frac{\partial^2}{\partial y^2} + \frac{\partial^2}{\partial z^2} \right) + U(\mathbf{r}). \quad (2)$$

Уравнение Шредингера (1) с точки зрения математики – это дифференциальное уравнение в частных производных для функции, которую называют волновой. Оператор Гамильтона (2) для одномерного уравнения Шредингера представим следующим образом:

$$\hat{H} = -\frac{1}{2m} \frac{d^2}{dx^2} + V(x). \quad (3)$$

Соответственно задача на собственные значения с учетом (3) запишется в виде:

$$-\frac{1}{2m} \frac{d^2\psi(x)}{dx^2} + V(x)\psi(x) = E\psi(x). \quad (4)$$

Для численного решения задачи на собственные значения (4) разработан целый ряд методов: метод конечных элементов, метод конечных разностей, вариационный и другие. Для численного решения методами конечных элементов (и в других методах) выбирают область изменения аргумента  $[x_{min}, x_{max}]$  с граничными условиями  $\psi(x_{min}) = 0$  и  $\psi(x_{max}) = 0$ .

В последних версиях *Wolfram Mathematica* (*WM*) задача поиска собственных значений линейных дифференциальных операторов «автоматизирована» с помощью операторов *NDEigensystem*, *NDEigenvalues*.

Оператор  $NDEigensystem[L[u[x,y,...]],u,\{x,y,...\}\in\Omega,n]$  дает  $n$  наименьших собственных значений и собственных функций для линейного дифференциального оператора  $L$  в области  $\Omega$ . Имеются и другие модификации этих операторов. Рассмотрим применение этого оператора для решения одномерного уравнения (4) с потенциалом вида:

$$V(x) = |x|. \quad (5)$$

Для этого потенциала существует точное решение, которое позволит оценить возможности решать уравнения вида (4). На рисунке 1 представлен основной блок, позволяющий получить численные значения для первых четырех собственных значений  $E_n$  и соответствующих им волновых функций  $\psi_n(x)$  на сетке. Как видно из рисунка 1, числовой блок достаточно простой и поэтому не требуется большого количества времени для его написания. Стоит отметить, что развитая информационная система *WM* значительно облегчает как написание программ, так и уменьшает временные затраты для создания программ.

```
(* Масса частицы *)
m = 1;
(* Потенциал *)
V[x_] := Abs[x];
      |абсолютное значение
(* Левая часть уравнения Шредингера: Дифф. ядро *)
L = -u''[x] / (2 m) + V[x] * u[x];
(* Расчет 4 собственных значений *)
nn = 4; n = Range[nn];
      |диапазон
(* Область изменения x *)
xmin = -7; xmax = 7;
(* Блок расчета собственных значений vals и собственных функций funcs*)
{vals, funcs} = NDEigensystem[L, u[x], {x, xmin, xmax}, nn,
      |численные собственные функции ДУ
      Method -> {"SpatialDiscretization" -> {"FiniteElement", {"MeshOptions" -> {MaxCellMeasure -> 0.0001}}}}];
      |метод                                     |максимальная величина ячейки
```

Рисунок 1 – Вычислительный блок решения уравнения (4) с потенциалом (5)

Следующий этап – визуализация полученных результатов. *Wolfram Mathematica* обладает широким спектром средств отображения данных: табличное представление, графическое отображение и динамические изображения. На рисунке 2 представлен блок визуализации собственных значений и волновых функций, а также табличное сравнение точного решения и расчетов, полученных с помощью *WM*. Отметим, что в данном случае необходимо несколько больше временных затрат по сравнению с созданием вычислительного блока. Но этот блок не требует специальных знаний по численным методам и поэтому вполне может быть создан обычным пользователем с помощью справочной системы *WM*.

```

(* Результаты решения уравнения Шредингера с  $V(x) = |x|$  *)
(* Точное решение *)
ValsExact = {0.808617, 1.85576, 2.57810, 3.24461};
(* Сравнение точного и численного решений *)
TableForm[ {vals, ValsExact},
|табличная форма
TableHeadings -> {{Style["WM", Bold, 18], Style["Точное", Green, 18, Bold]}, {"n=1", "n=2", "n=3", "n=4"}},
|табличные заголовки |стиль |жирный шрифт |жирный шрифт |зелёный |жирный шрифт
TableSpacing -> {2, 2}, TableAlignments -> Center
|расстояние между таблич... |выравнивание колонок |центр
Print[Style["Визуализация собственных значений", 18]];
|печать |стиль
Show[Plot[Evaluate[vals], {x, xmin + 1, xmax - 1},
|показать |график |вычислить
PlotLabels -> {Style["n=1", Bold], Style["n=2", Bold], Style["n=3", Bold], Style["n=4", Bold]},
|пометки на графике |стиль |жирный шрифт |жирный шрифт |жирный шрифт |жирный шрифт |жирный шрифт
PlotRange -> {{xmin + 1, xmax - 1}, {-1, nn}}, AxesLabel -> {Style["x", Bold, 18], Style["V(x)", Bold, 18]},
|отображаемый диапазон графика |обозначения осей |стиль |жирный шрифт |жирный шрифт |жирный шрифт
Plot[V[x], {x, xmin + 1, xmax - 1}, AxesLabel -> {Style["x", Bold, 18], Style["V(x)", Bold, 18]},
|график функции |обозначения осей |стиль |жирный шрифт |жирный шрифт |жирный шрифт
PlotRange -> {{xmin + 1, xmax - 1}, {-1, nn}}, AxesOrigin -> {-1, 0}, ImageSize -> Medium]]
|отображаемый диапазон графика |точка пересечения осей |размер изобра... |средний
Print[Style["Визуализация собственных функций  $\psi(x)$ ", 18, Blue]];
|печать |стиль |синий
Plot[Evaluate[Table[funs[[i]], {i, 1, nn}]], {x, xmin, xmax},
|график |вычислить |таблица значений
AxesLabel -> {Style["x", Bold, 18, Italic], Style[" $\psi(x)$ ", Bold, 18, Italic]},
|обозначения осей |стиль |жирный шрифт |курсив |стиль |жирный шрифт |курсив
PlotLegends -> {" $\psi_1(x)$ ", " $\psi_2(x)$ ", " $\psi_3(x)$ ", " $\psi_4(x)$ "}
|легенды графика

```

Рисунок 2 – Блок визуализации собственных значений и волновых функций, а также табличное сравнение точного и численного решений

На рисунке 3 продемонстрирован результат работы программы, представленной на рисунках 1 и 2, с использованием оператора *NDEigensystem* для потенциала  $V(x) = |x|$ .

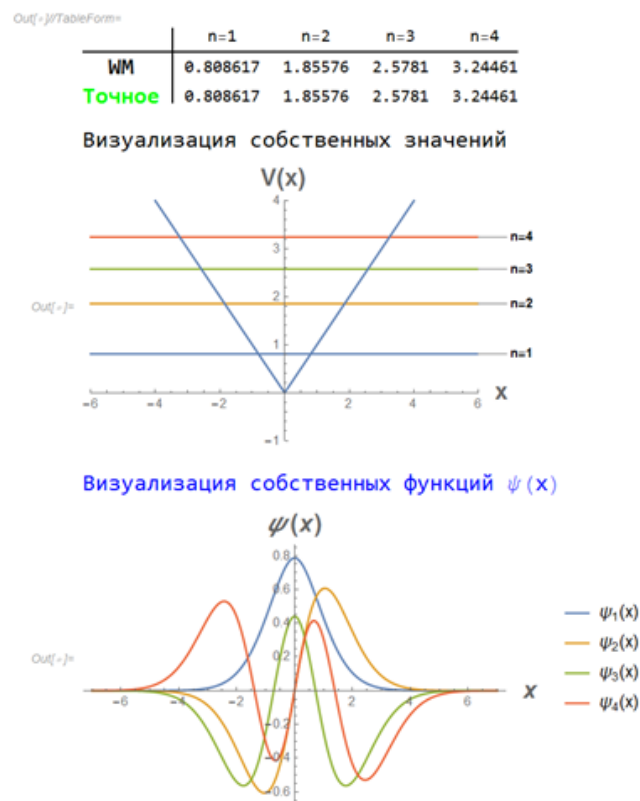


Рисунок 3 – Результат решения (4) для потенциала  $V(x) = |x|$

Точное решение уравнения (1) с потенциалом (5) определяется формулами [2]:

$$E_n = -\frac{1}{2^{1/3}} \times \begin{cases} z'_n, n\text{-четное} \\ z_n, n\text{-нечетное} \end{cases}, \quad (6)$$

где  $z_n$  – нули функции Эйри  $Ai(z)$ , а  $z'_n$  – нули производной функции Эйри  $Ai'(z)$ . Численные значения точного решения (6) легко найти, используя встроенные функции *WM*.

Как следует из рисунка 3 численное решение, полученное с помощью оператора *NDEigensystem*, совпадает с точным решением с точностью до 5 знаков после запятой.

Таким образом, использование системы *Wolfram Mathematica* в учебном процессе дает возможность проведения виртуальных лекционных и семинарских занятий в реальном времени, осуществления оперативного консультационного общения, расширения доступа к учебной, методической и научной информации, а также моделирования научной и исследовательской деятельности.

### Список литературы

1. Wolfram, S. The Mathematica book / S. Wolfram. – Addison-Wesley, 1999. – 359 pp.
2. Sakurai, J.J. Modern Quantum Mechanics / J.J. Sakurai, J. Napolitano. – Addison-Wesley, 2011. – 570 pp.